



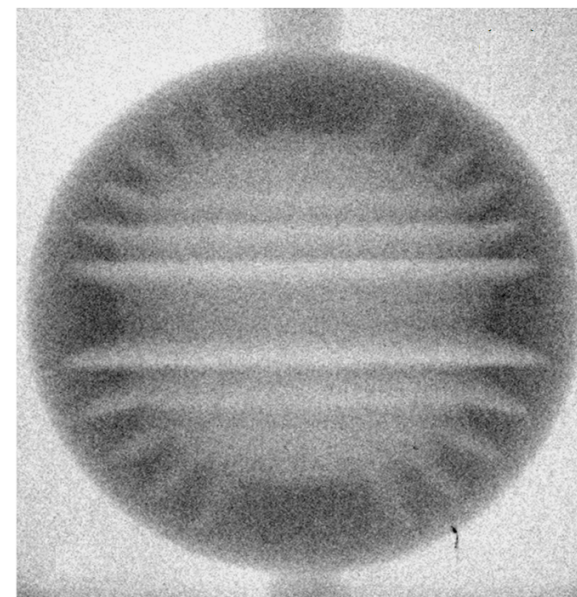
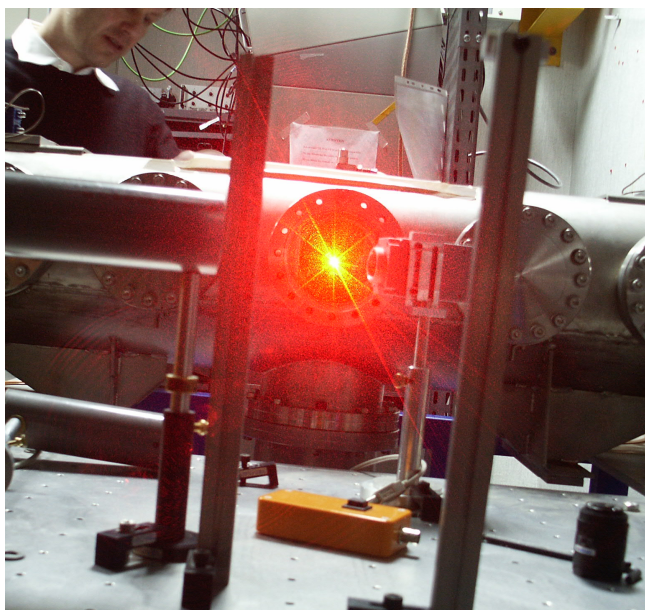
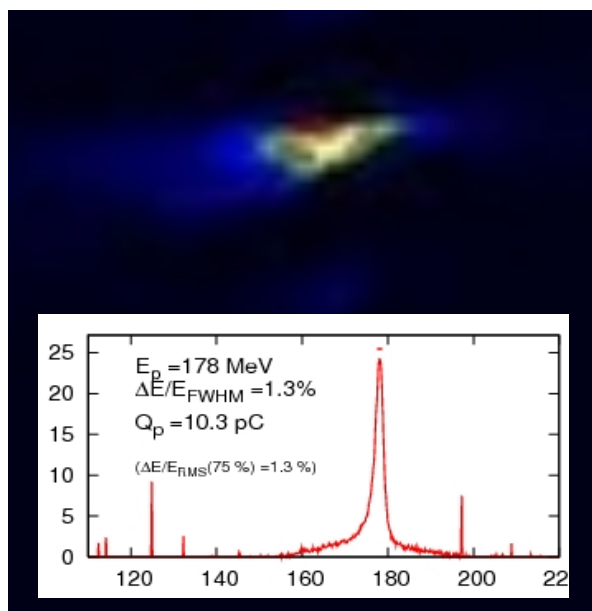
Laboratoire Leprince-Ringuet

Visite Master APIM 27/10/2010

## Groupe d'Accélération par Laser et Ondes Plasma

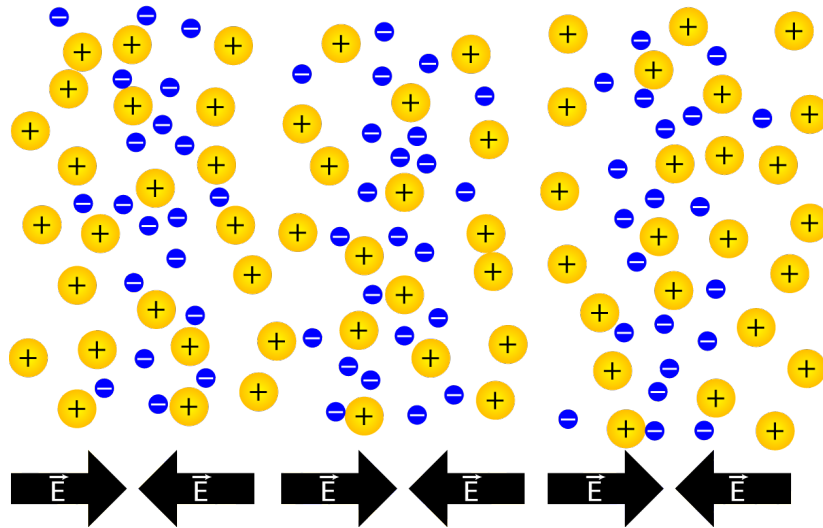


Nouvelles techniques d'accélération de particules



# Accélération de particules par ondes plasma

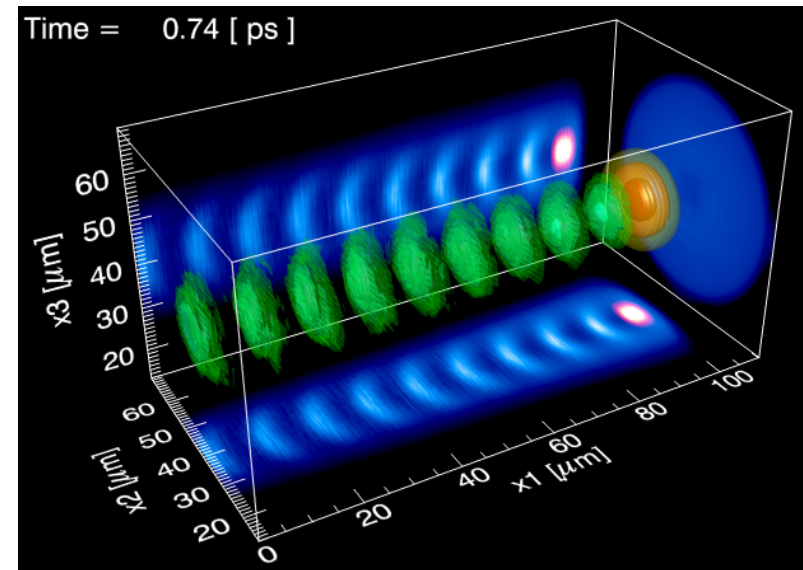
## onde plasma



gaz d'électrons et d'ions (plasma) :  
attraction/repulsion électrostatique

fréquence plasma:  $\omega_p \propto \sqrt{n_e}$

## résonateur = plasma



$$E_z = \frac{m_e c \omega_p}{e} \approx 300000 \text{ MV/m}$$

(pour  $n_e = 10^{19} \text{ cm}^{-3}$ )  $\omega_p \propto n_e^{1/2}$

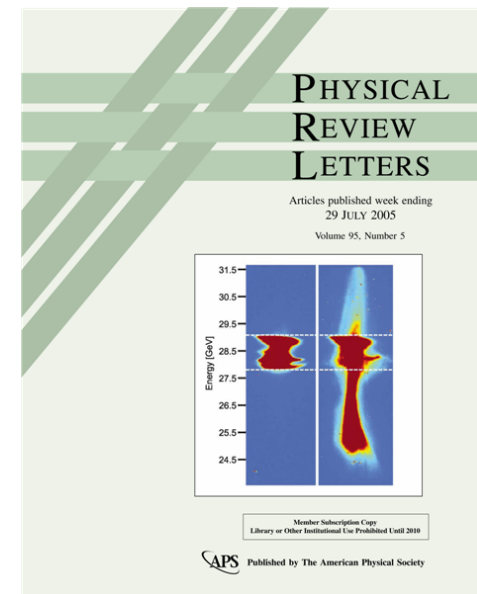
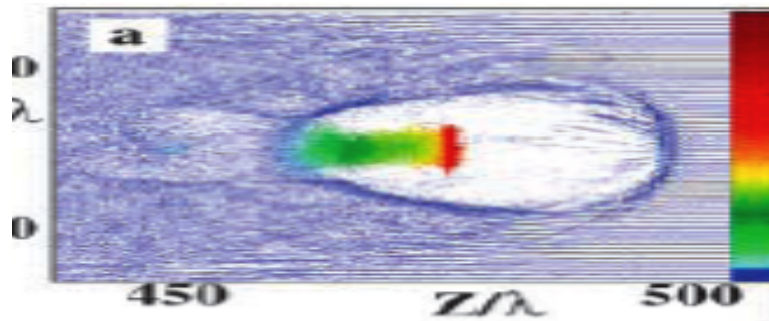
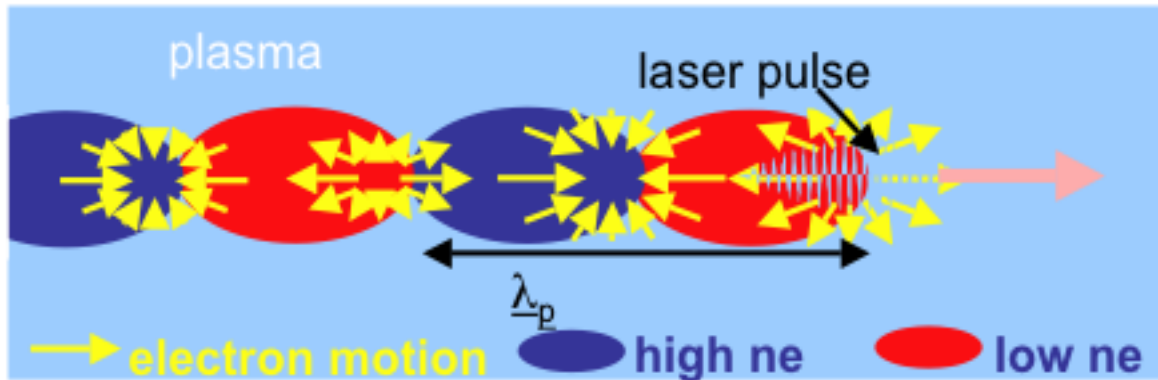
**Onde plasma accompagnée d'un champ E longitudinal très intense!**

excitation de l'onde plasma par champs électriques intenses :

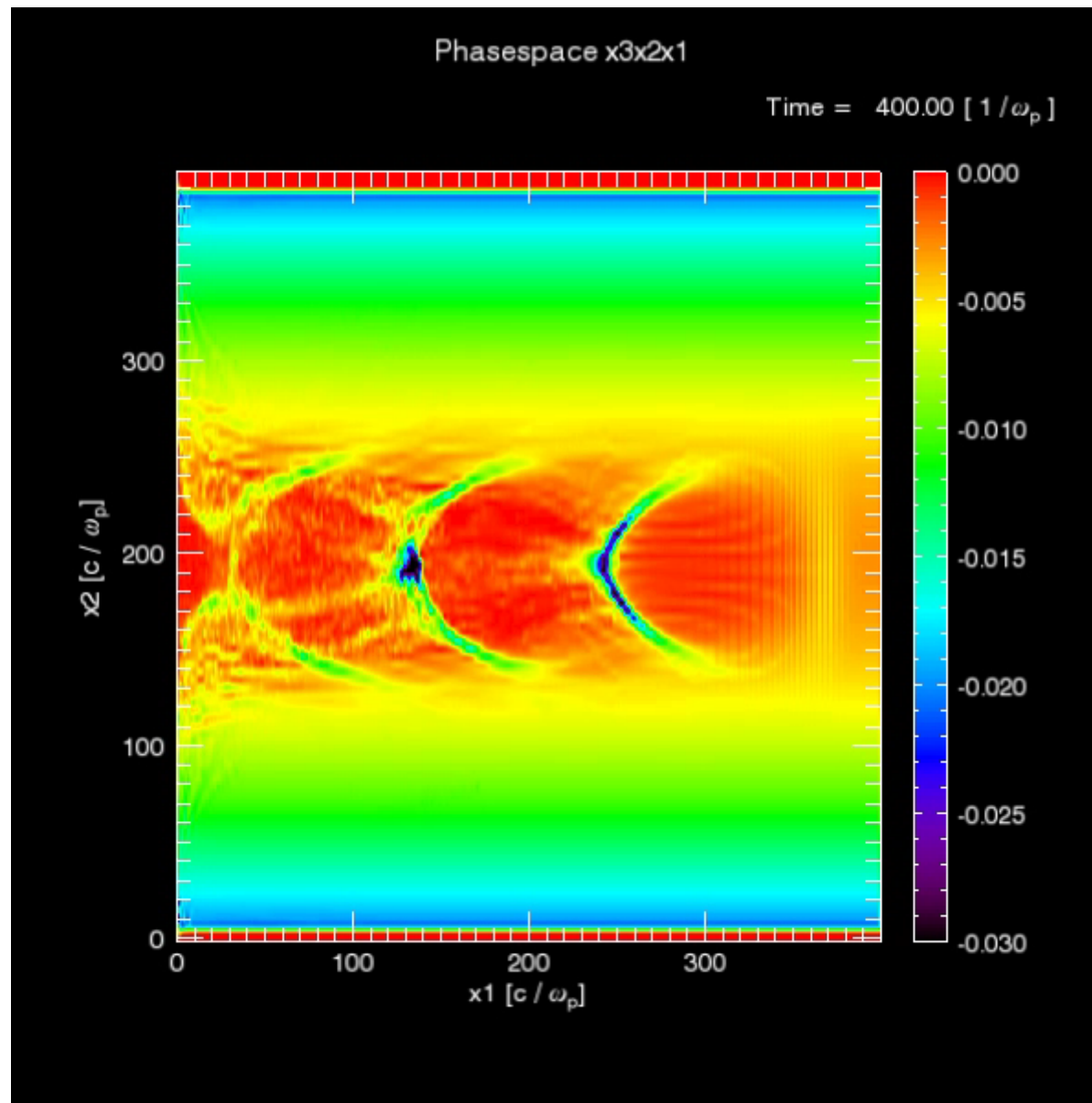
- faisceaux d'électrons
- impulsions laser ultra-intenses

# 2004: Une percée majeure

- réalisation du «régime de la bulle»:  
**expulsion totale des électrons du plasma**
- **faisceaux d'e<sup>-</sup>«monochromatiques»**  
et fortement collimés



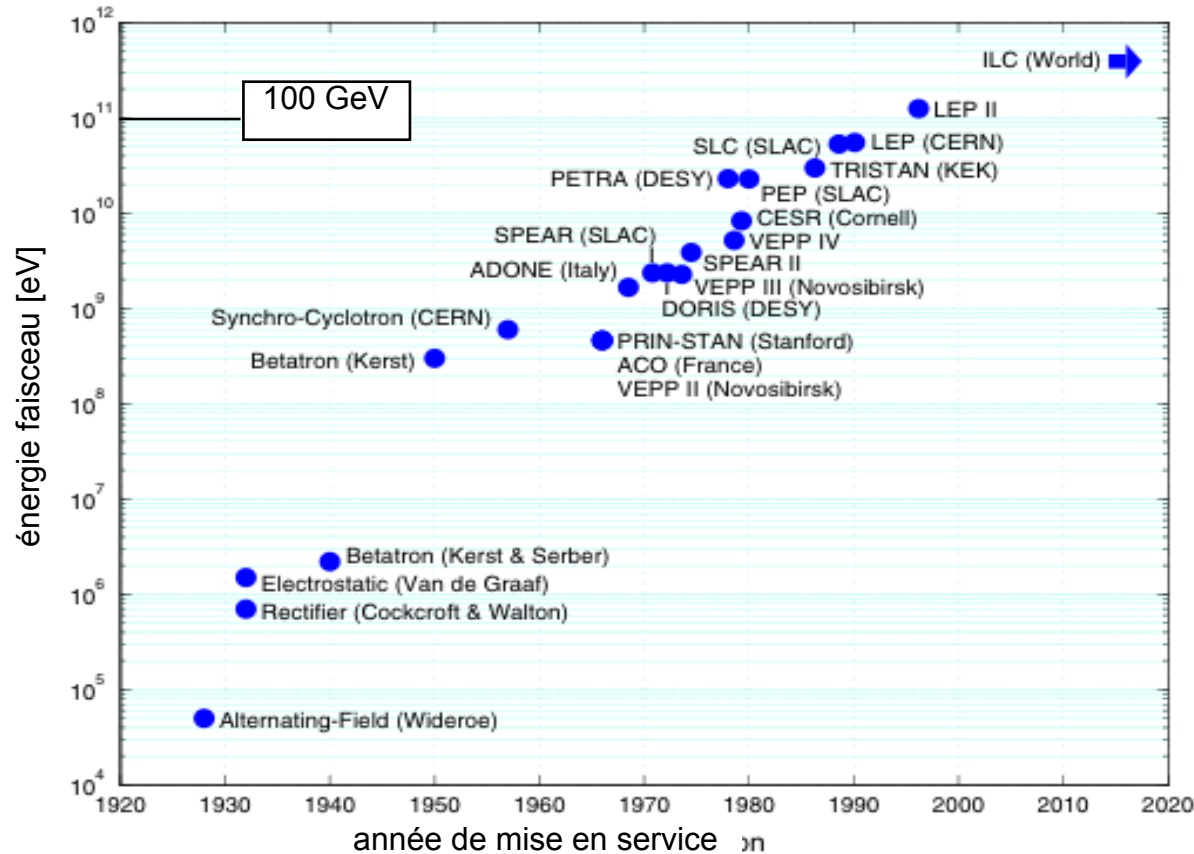
# particle-in-cell (PIC) simulation of self-injection into bubble



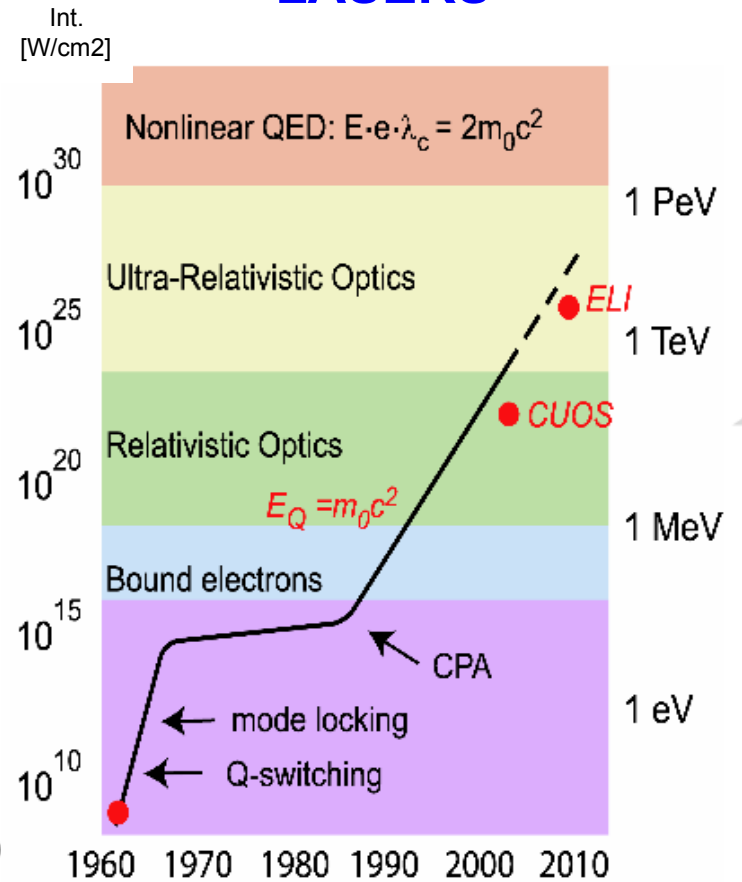
Wei Lu (UCLA), AAC2006, Lake Geneva (USA)

# why get interested in laser acceleration?

## RF accelerators (e-/e+)



## LASERS



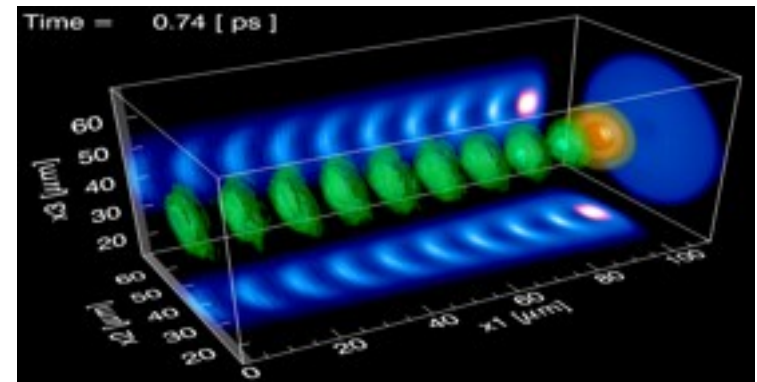
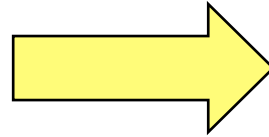
- LINACS: energy = gradient × length → long machines
- LASERS: progression in intensity → technology breakthrough

# increase the accelerating gradient: form RF to plasma waves

→ decrease size of « accelerating structure »



$$E_z < 100 \text{ MV/m}$$



$$E_z = m_e c \omega_p / e \approx 100 \text{ GV/m}$$

**klystron** → **high power laser (ultra-short pulse)**  $E=O(10\text{J}), \tau=O(10\text{fs}) \Rightarrow P=O(10\text{PW})$

- ✗ repetition rate 0.1-1Hz → 10-100 kHz
- ✗ wall-plug efficiency few % → few 10%

**RF cavity** → **gas jet, gas cell, gas-filled capillary, capillary discharge** ( $n \approx 10^{17}-10^{19}\text{cm}^{-3}$ )

- **stability** : → maîtrisé ✓ (contre-propagatif)
- **laser guiding** : *beam-loading, pump-depletion*
- **laser coupling** at capillary entry

**RF wave** → **plasma wave** ( $\lambda_p \approx 10-100\mu\text{m}$ )

- **régime**: linear, wave-breaking, bubble (*blow-out*)
- **transverse emittance**: focussing
- ✓ **longitudinal emittance**: energy dispersion  $\Delta E/E, \varepsilon_T,$
- **stability**: ion movement, useful plasma wave buckets

# Les défis présents et futurs pour l'accélération par laser

paramètres d'un paquet d'un faisceau de particules :

charge, ⟨position⟩, ⟨angle⟩, ⟨énergie⟩, dispersion en E, émittance transverse, longueur

	LWFA	ILC	unit
○ <b>augmenter l'énergie</b> ➤ allonger la distance d'accélération	0.2–1	250	GeV
○ <b>augmenter la charge</b> ➤ haute densité de gaz? injection externe?	0.01–0.1	3	nC
○ <b>réduire l'espacement des paquets</b> ➤ laser rep. rate: “10Hz”, multi plasma-wave buckets?	0.1–10	$370 \cdot 10^{-9}$	s
○ <b>dispersion en énergie (“monochromaticité”)</b>	1%	0.1%	
○ <b>longueur (ou durée) des paquets</b> ➤ «bane or blessing?», <b>mesure difficile</b>	<3 (?)	300	μm
○ <b>émittance transverse (“concentrabilité”)</b>	<3 (?)	19/0.07	mm.mrad
○ <b>stabilité et contrôle des faisceaux (“reproductibilité”)</b> charge, angle (pointé), énergie			

# Maîtrise de l'énergie du faisceau: Injection contrôlée (LOA,2006)

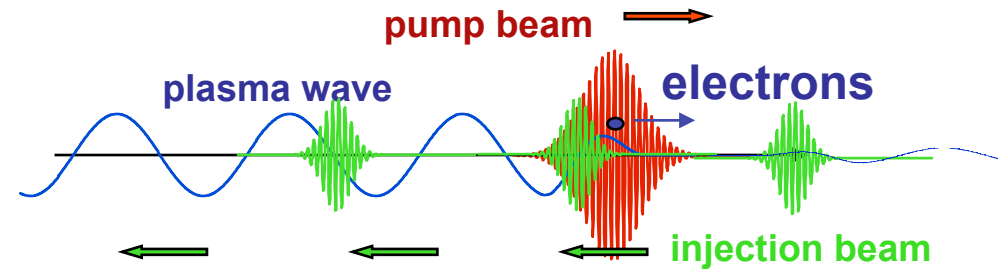
- **2 impulsions contra-propagatives**

laser existant: 30fs, ~1J, ~30TW

faisceau pompe: 700mJ

faisceau injection: 250mJ

- **injection contrôlée d'e- dans plasma: ajustement de l'énergie**



$Z_{inj}=225 \mu\text{m}$  Faure et al 2007 Plasma Phys. Control. Fusion 49 B395-B402

$Z_{inj}=125 \mu\text{m}$

$Z_{inj}=25 \mu\text{m}$

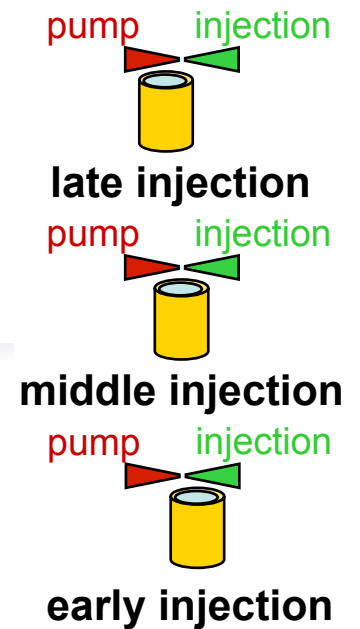
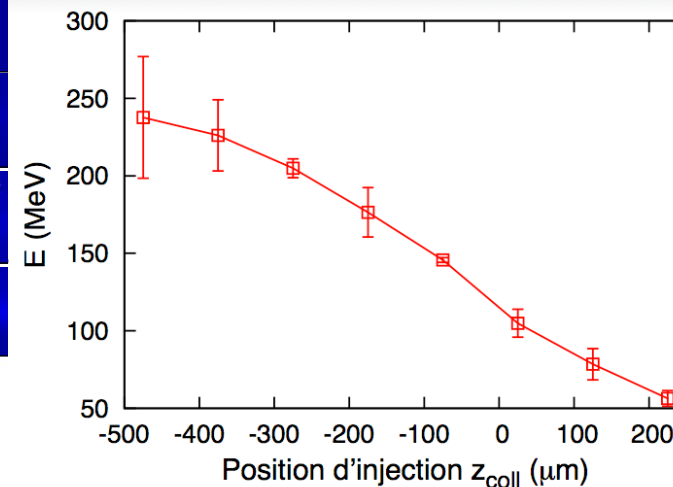
$Z_{inj}=-75 \mu\text{m}$

$Z_{inj}=-175 \mu\text{m}$

$Z_{inj}=-275 \mu\text{m}$

$Z_{inj}=-375 \mu\text{m}$

400300 200 100  
Energy (MeV)



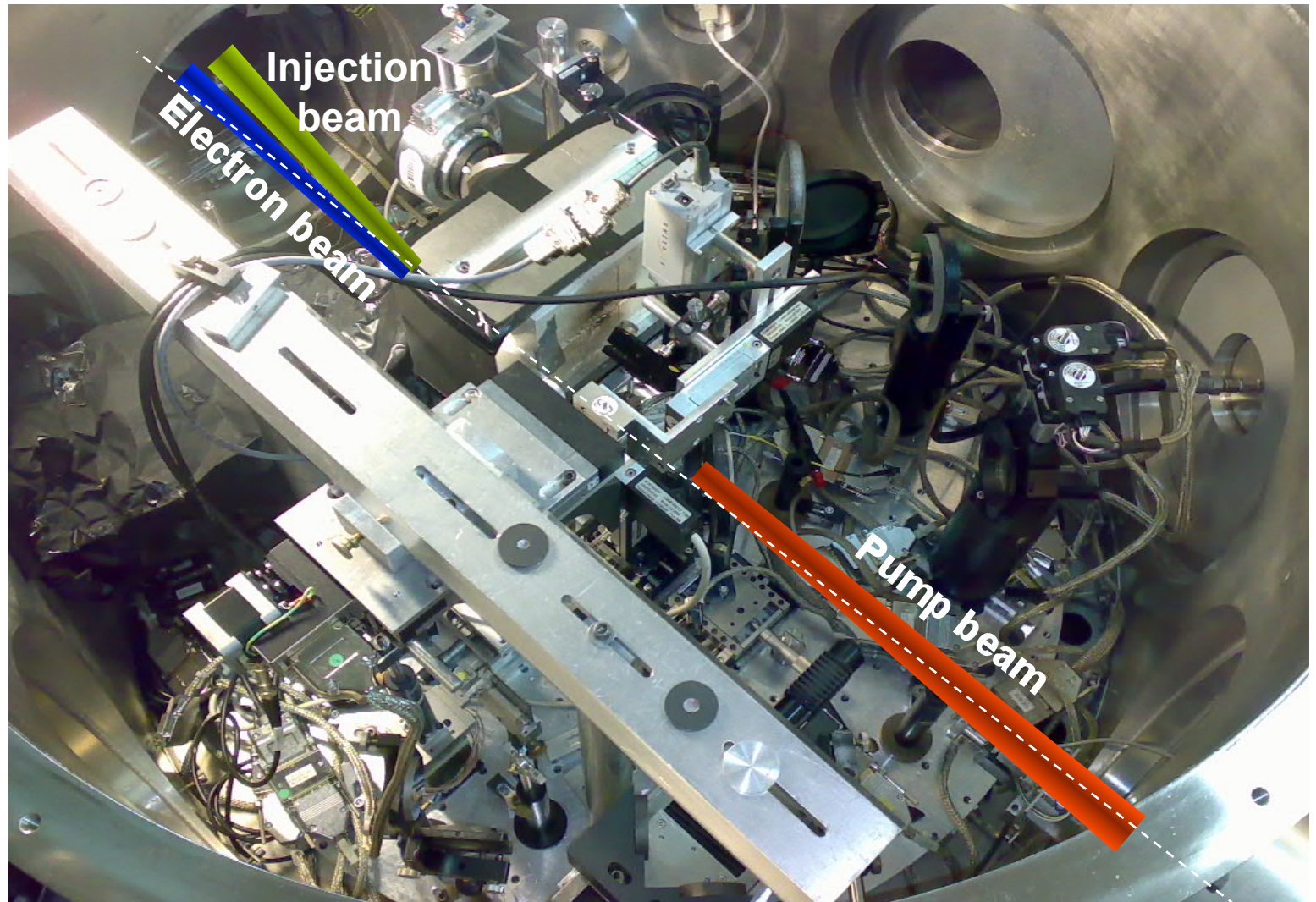
# colliding pulse injection: experimental setup (2008)

## ○ LASER

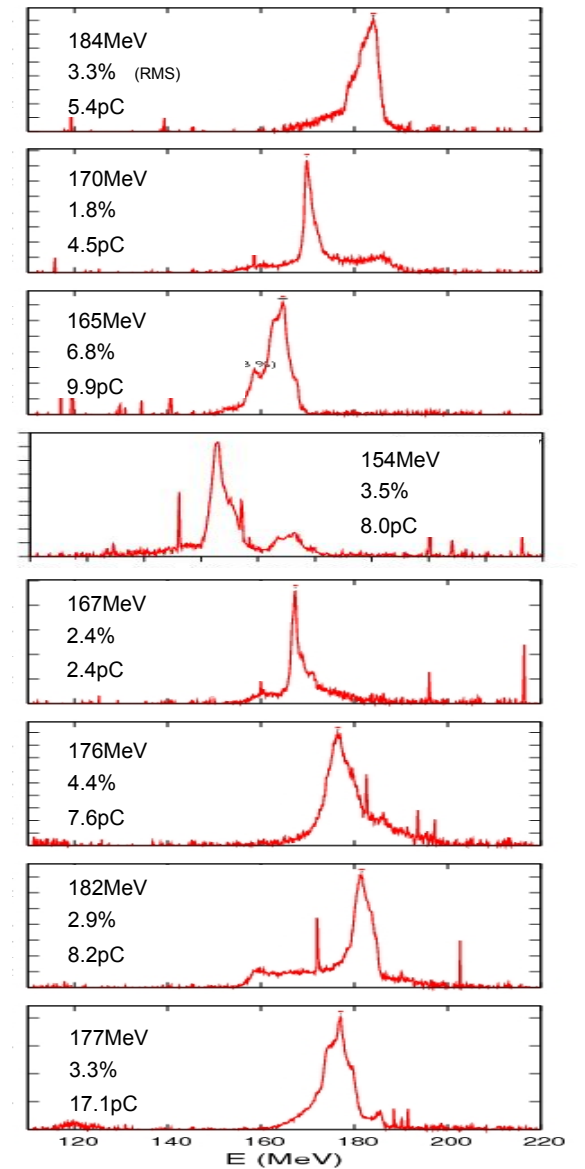
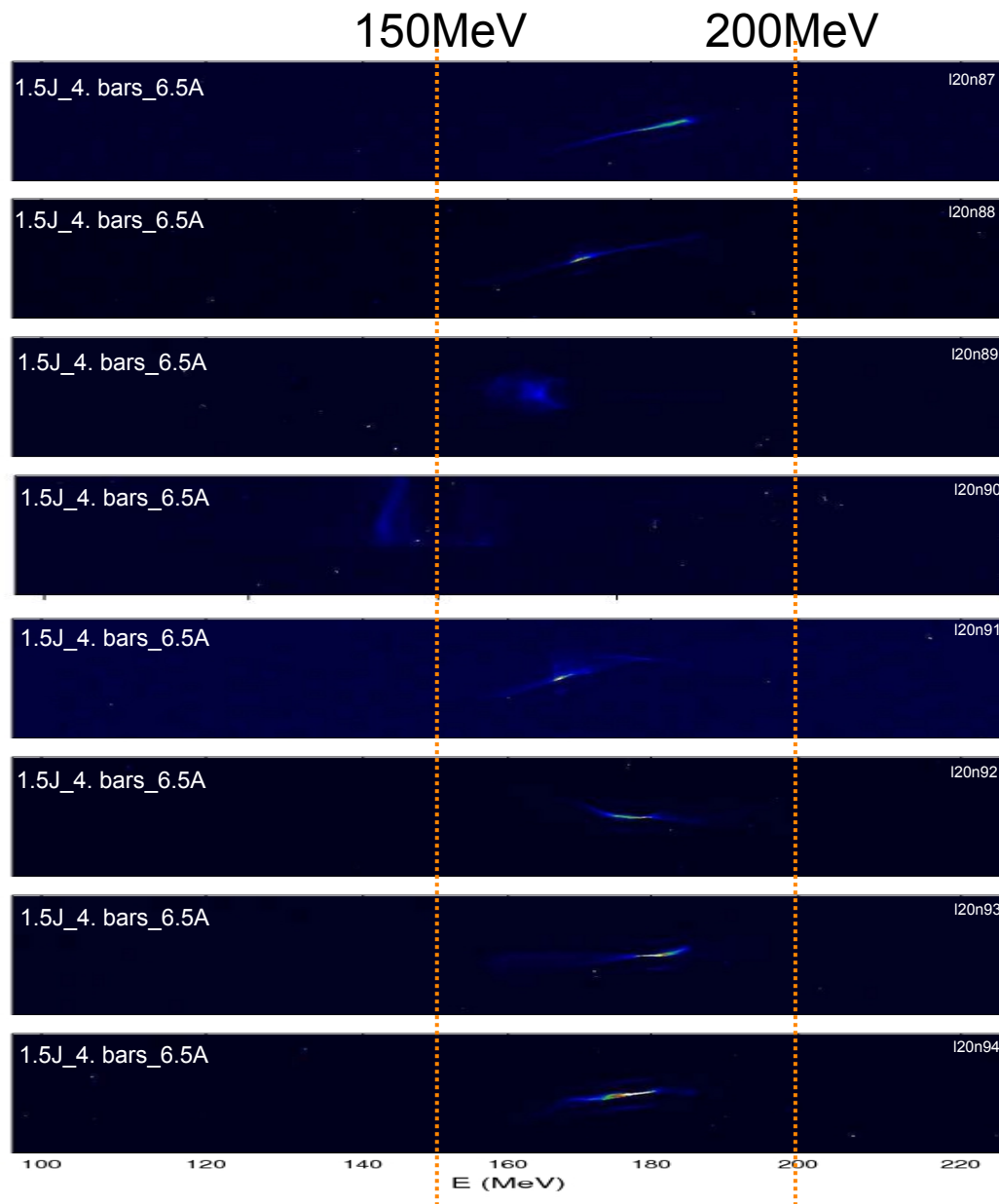
- ▶ TiSaph: 50TW 30fs
- ▶ 2 beams  
 $a_0=1.3$   $a_1=0.6$
- ▶ non-collinear  
angle= $7^\circ$
- ▶ <1 shot/ 10sec

## ○ gas jet

- ▶ length = 3mm
- ▶ e<sup>-</sup> density  
 $n_e=3 \cdot 10^{18} - 2 \cdot 10^{19} \text{cm}^{-3}$   
(via pressure)

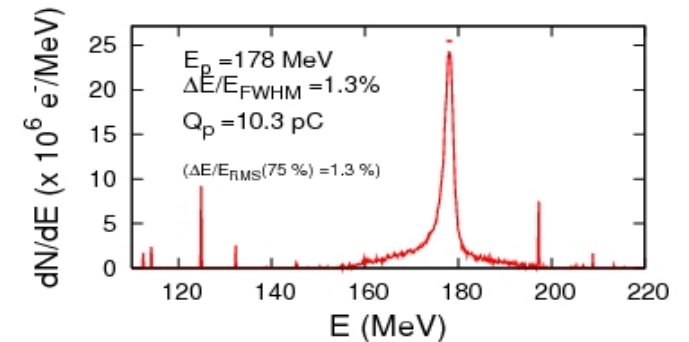
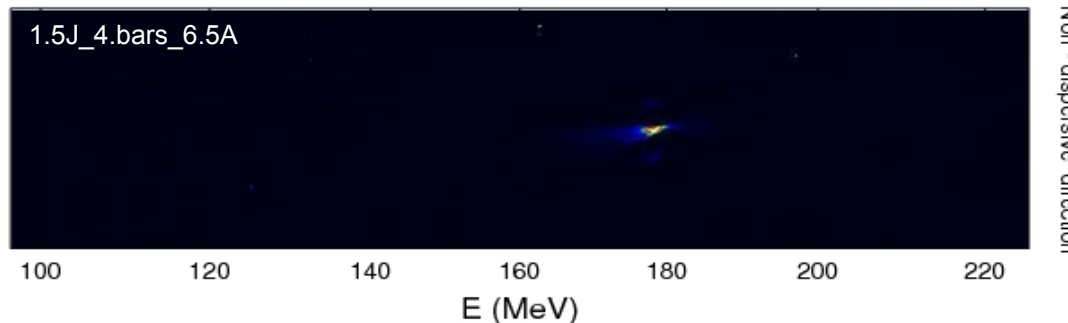
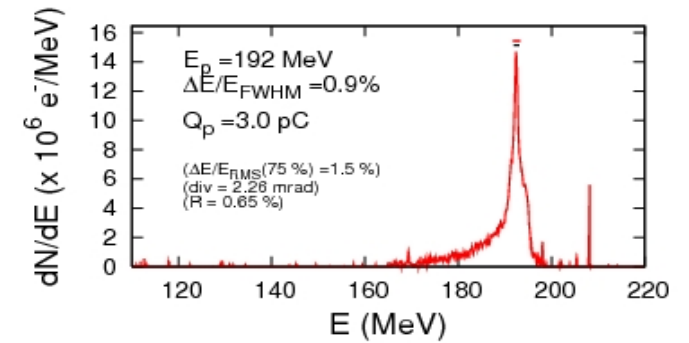
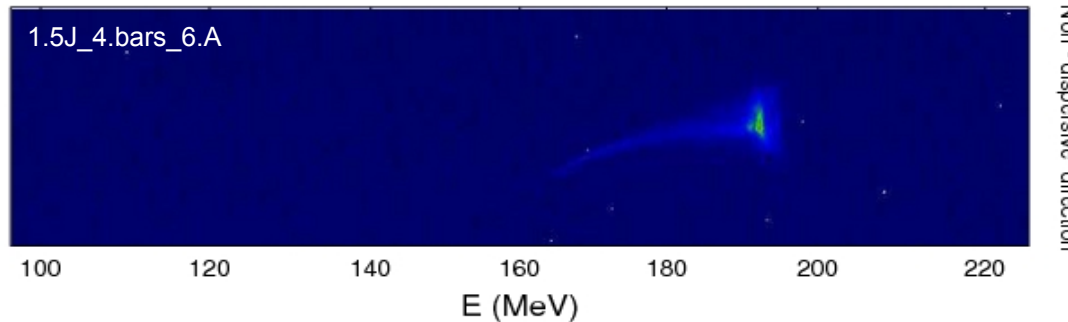
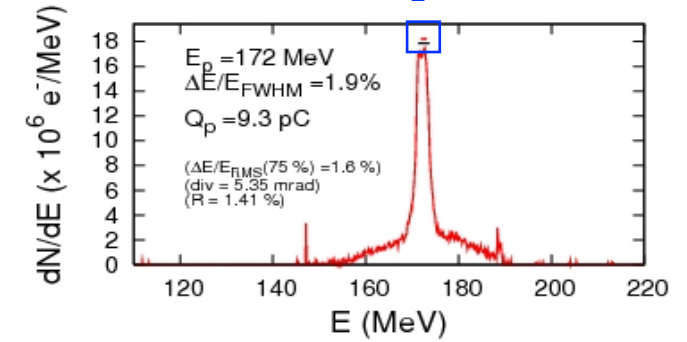
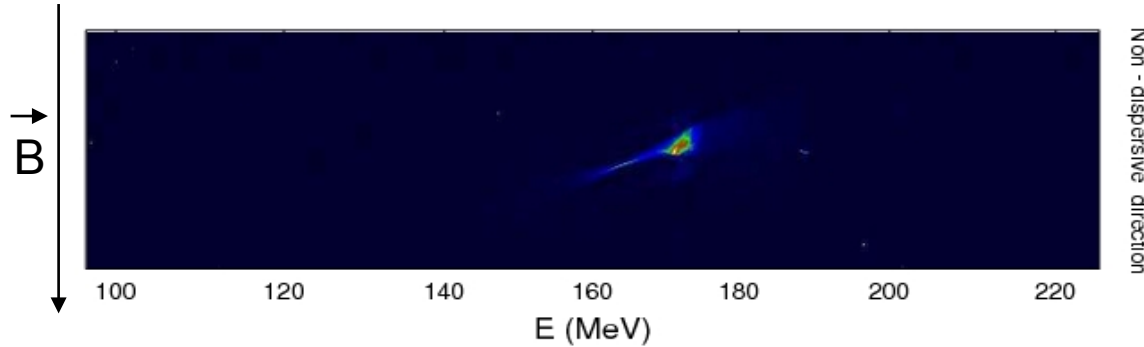


# Stabilité du faisceau : 8 tirs consécutifs (AAC08, A.B.)



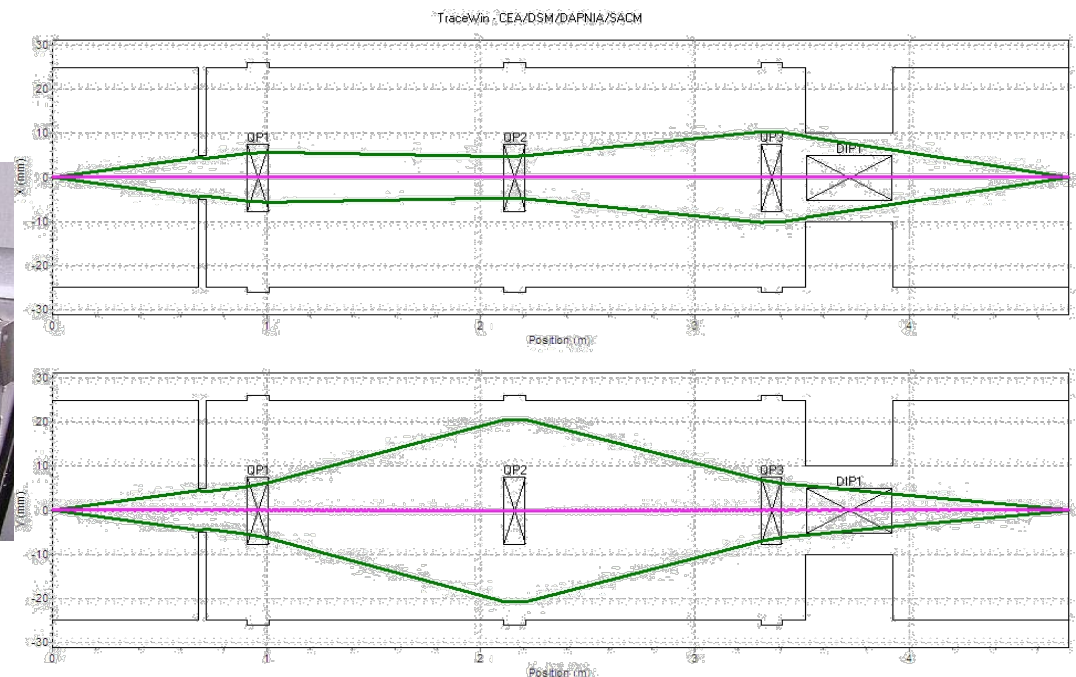
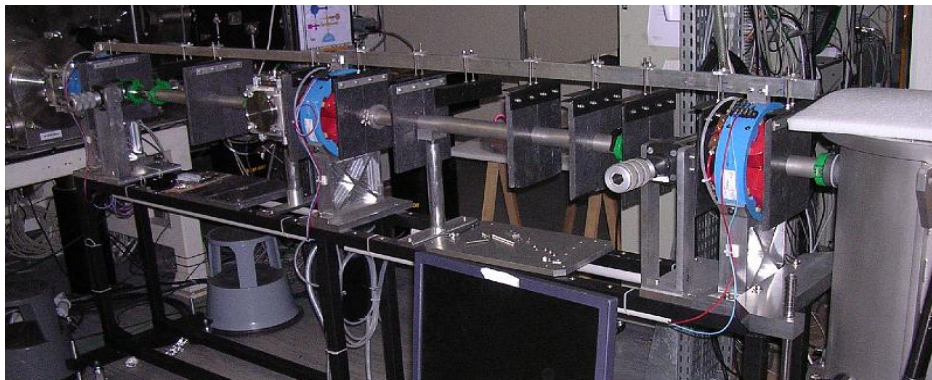
# Monochromaticité : observat<sup>o</sup> de spectres étroits (AAC08, A.B.)

- assuming 3mrad divergence  
 - deduced from direct measurements on the screen



# design of a high resolution magnetic spectrometer

- quadrupole triplet (FODOF,  $\int |dB/dx| dz = 1.2T$ ) + permanent dipole ( $\int B dz = 0.36T \text{ m}$ )
- E resolution  $< 1\%$  over 100-150 MeV over 100-400MeV range
- 2 energy ranges: 100-220 MeV, 220-1200MeV  $\Rightarrow$  2 phosphor screens
- avoid resolution degradation by multiple scattering  $\Rightarrow$  transport in vacuum
- stigmatic imaging for particular energy values
- in general: astigmatic  $\Rightarrow$  divergence estimation  $\Rightarrow$  **E resolution** shot to shot



# Frontière de l'énergie : augmenter la longueur d'accélération

## ○ guidage de l'onde plasma (et du laser):

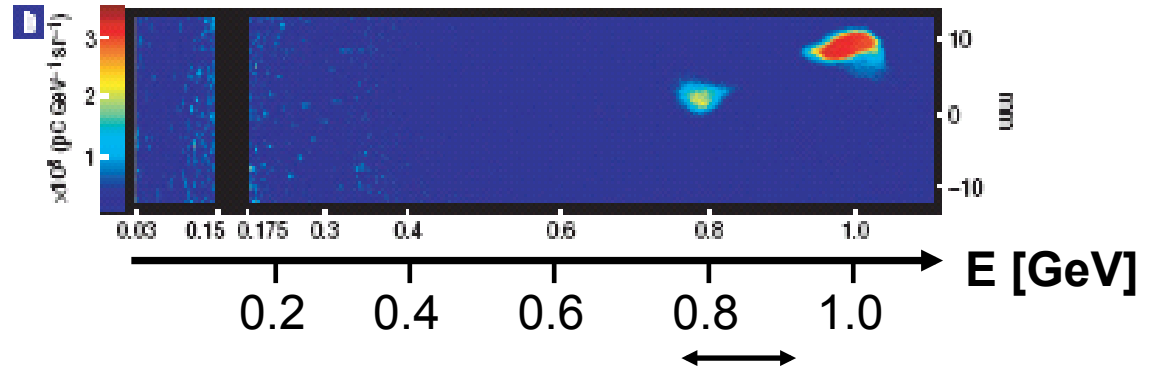
- auto-focalisation dans une cellule de gaz
- canaux plasma créés par laser
- capillaires « passifs »
- **décharge dans un capillaire**

## ○ régime d'auto-injection

(= bulle plasma = *blowout*)

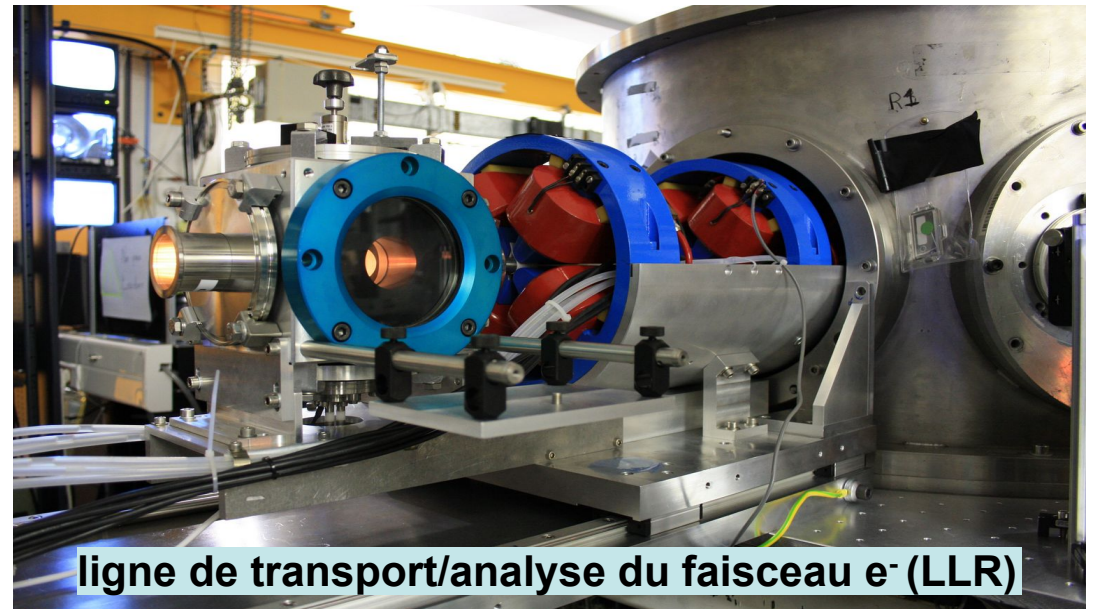
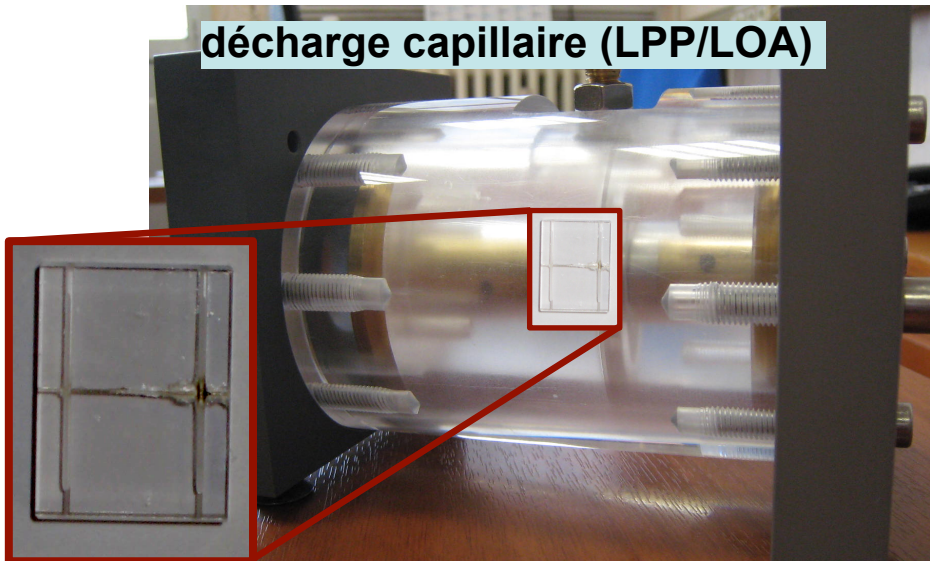
## ○ opération stable à 450 MeV

## ○ **décharge capillaire développé par LOA & LPP, manip en cours**



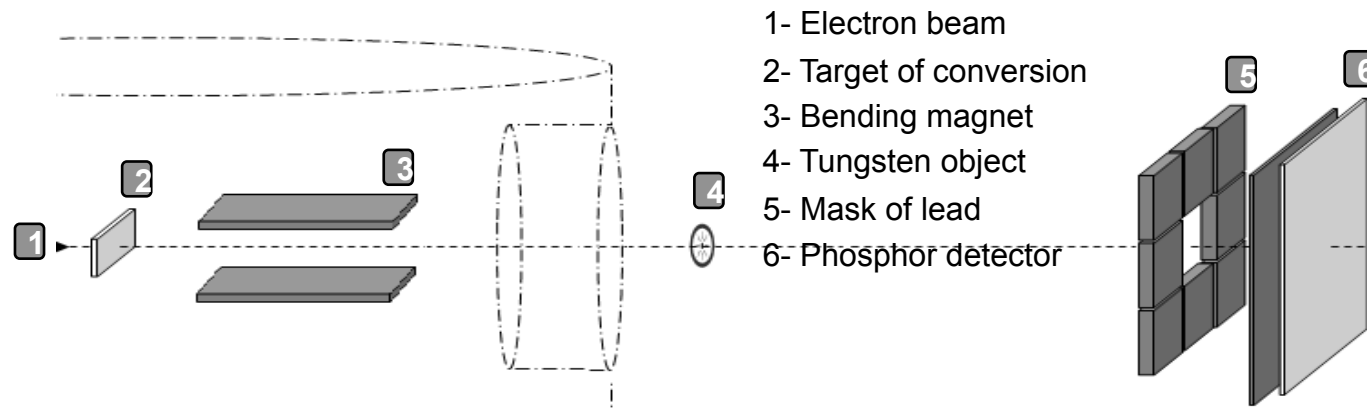
W.P. Leemans, et al., Nature Phys. 2, 696-699

décharge capillaire (LPP/LOA)



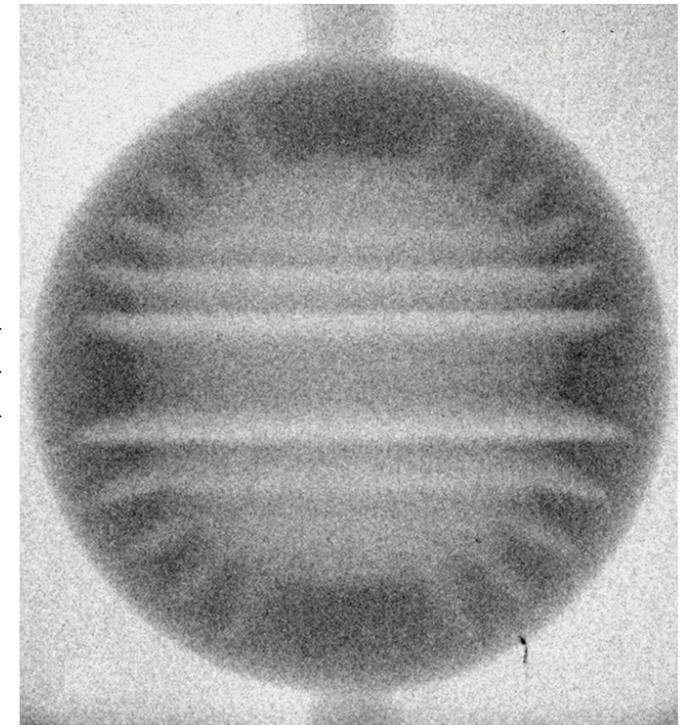
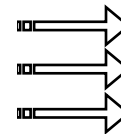
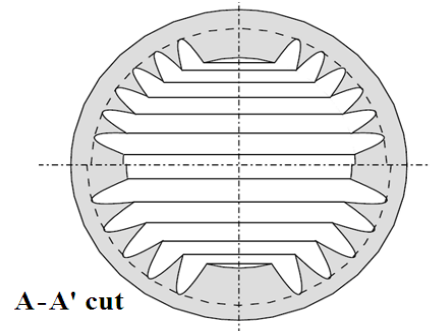
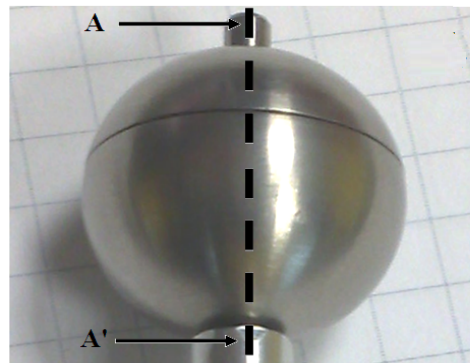
ligne de transport/analyse du faisceau  $e^-$  (LLR)

# Une application : la radiographie gamma



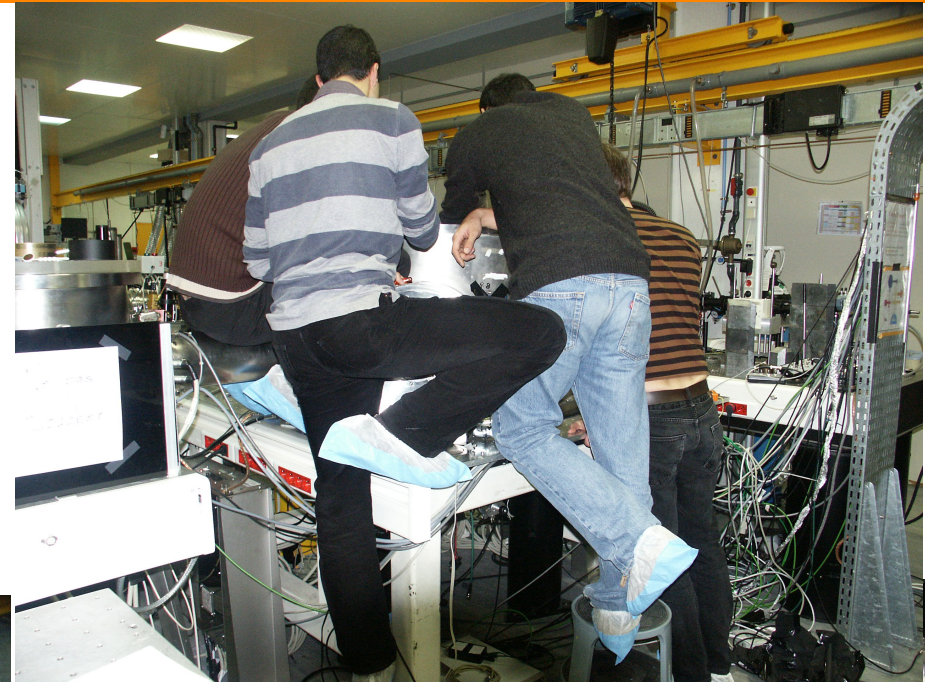
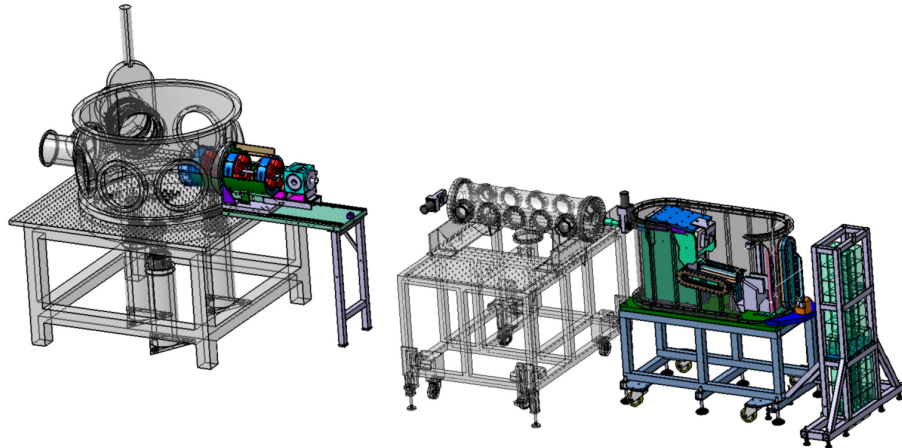
LOA & LLR

Ahmed BEN ISMAIL, 13th Asia-Pacific Conference on Non-Destructive Testing (APCNDT 09)

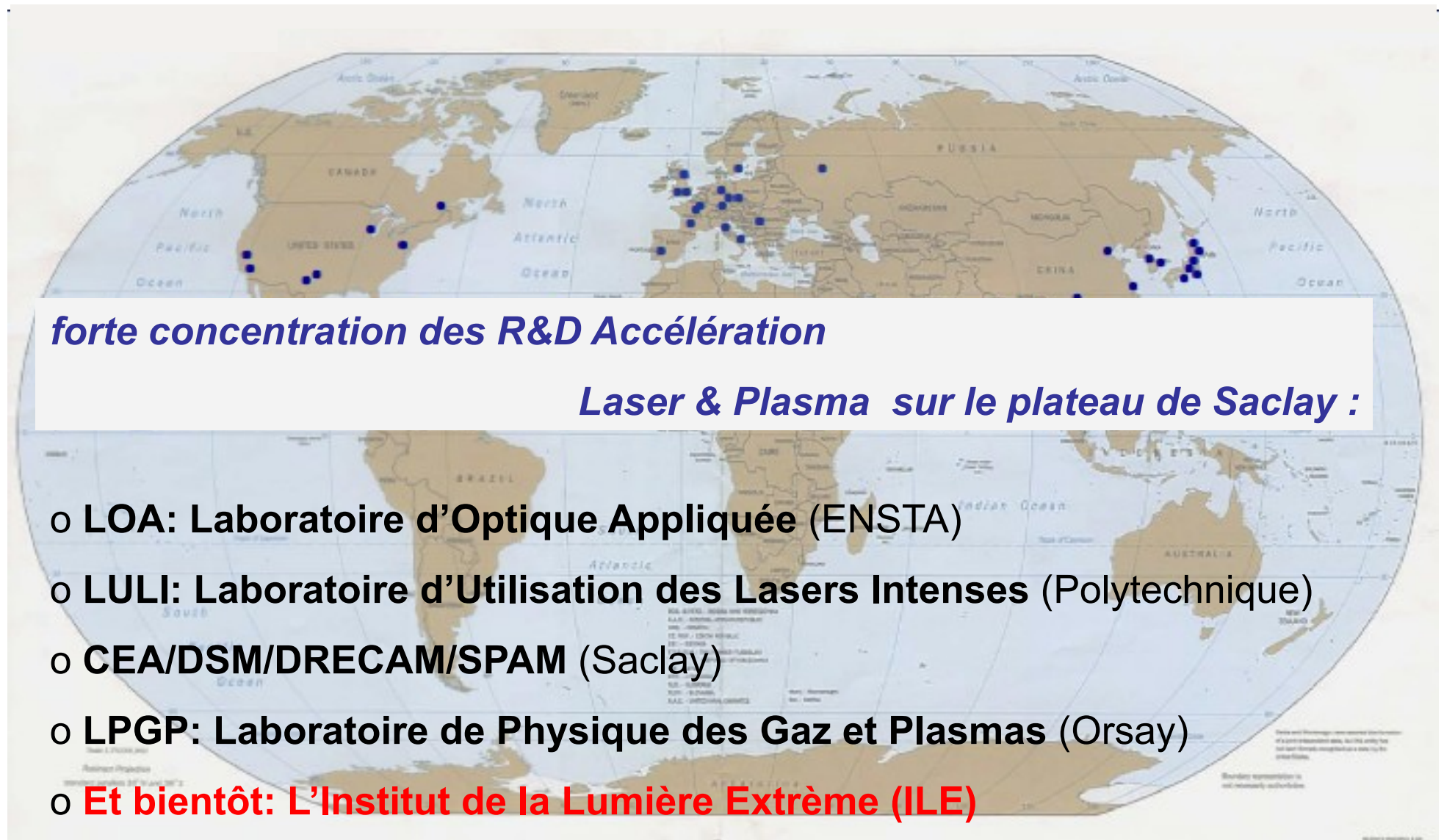


# undulator experiment at LOA (2009/2010)

compactified beam transport line



# Accélération Laser & Plasma partout dans le monde



# Contexte présent et futur

- **LOA** : laser de la salle jaune «salle jaune» 40TW, 30fs
  - injection dans un onduleur
  - guidage du laser dans une décharge capillaire (augmentation de l'énergie)
  - mesure de l'émittance du faisceau d'e<sup>-</sup>
- **CEA (SPAM) : IRAMIS UHI 100TW 25fs, 100TW, 2 salles**
- **ILE (Institut de la Lumière Extrême)**
  - implantation au à partir de 2013
  - deux lasers: LUIRE: 1PW 15fs, début 2011 (installé à l'ENSTA)  
APOLLON:10 PW, 15fs 2014 (installat° au CEA Orme des Merisiers)
  - applications: e<sup>-</sup>. p, XFEL compact, physique exotique
  - accélération d'électrons: O(10GeV), caractérisation complète, 2 étages
- **ELI (Extreme Light Infrastructure)**
  - 10 fois ILE (100PW)
  - projet européen
  - **LLR «membre » d'ELI**

